

防衛大学校 (正) 大平至徳
 同上 (正) 山口晴幸
 同上 (学) 森 茂

1. はじめに

一般に、泥炭地は地表面が地下水位とほぼ一致しているような湿地帯に分布している場合がほとんどである。そのため、現位置での泥炭は地下水位下で完全に飽和状態にあると見なせる。そこで、室内試験から泥炭のせん断特性を調べたり、各種の土質定数を算定する際には、サンプリングによる拘束圧力の解放や供試体作製および試験装置へのセット時に生じる飽和度の低下の影響を取り除く必要があり、試料を完全に飽和するという基本的操作のもとで試験が実施されなければならない。本報告は、不擾乱泥炭を対象として、各種の大きさのバックフレッシャーのもとで間隙水圧係数 B 値を求めて飽和状態を判定し、非排水三軸圧縮せん断特性に及ぼすバックフレッシャーの効果について検討している。

2. 実験方法

埼玉県浦和市郊外の泥炭地にシンウォールチューブを鉛直に貫入して採取した不擾乱試料を用いた。対象とした試料は地表面下 $0.5 \sim 1.0$ m のもので、地下水位下に位置しており完全に飽和状態にある。飽和度の低下に留意して、室内で水中に保存した試料をすばやく成形し、直径 5 cm、高さ 12.5 cm の供試体を作製した。三軸セルへのセットは水中で注意深く実施した。図-1に示すように、 $0, 50, 100, 200, 300$ kPa の 5 種の大きさのバックフレッシャー (σ_b) をそれぞれ等方圧密過程から載荷し、所定の拘束圧 (σ'_c) まで段階的に圧密を行い、各段階での間隙水圧係数 B 値を測定した。 σ'_c 下で圧密終了後、定ひずみ(ひずみ速度 $0.05\%/\text{min}$)速度で非排水三軸圧縮試験を実施した。間隙水圧は供試体底部で計測した。表-1 に供試体条件を示す。

3. 結果と考察 **1) 圧密に及ぼすバックフレッシャーの効果** 部分的に分解した葉や根の纖維性植物を多量に含んでいる泥炭は、初期間隙比が非常に大きく(表-1 参照)極めて多孔質であるため、三軸セルへのセットまでに気泡が混入する可能性が十分に考えられる。一般に、飽和度を高めるためにバックフレッシャーが載荷される。図-2 は等方圧密過程の各段階での初期に計測した拘束圧増分 $\Delta\sigma'_c$ に伴う間隙水圧増分 Δu をプロットしたものである。もし供試体が完全に飽和されていれば、 $\Delta u = \Delta\sigma'_c$ 線上に実験値がプロットされるはずである。 $\Delta u = 50$ kPa 付近までは σ_b の大きさによらず、 Δu は $\Delta\sigma'_c$ にほぼ等しく、飽和状態にあるとみなせる。しかし、 σ'_c が $70 \sim 100$ kPa と圧縮が進行すると、 $\sigma_b = 0$ の場合には Δu の発生がかなり低下し $\Delta u = \Delta\sigma'_c$ 線の下方にプロットされる。この傾向は図-3 に示す $\sigma_b = 100$ kPa 場合にも見られる。

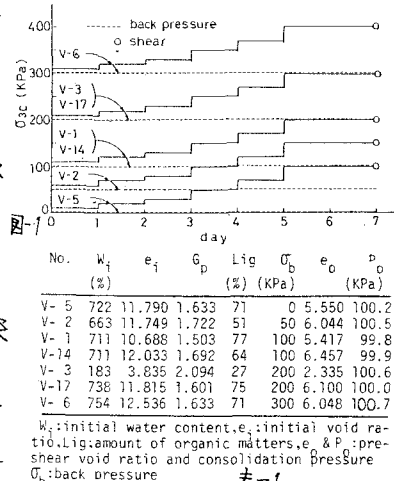


表-1

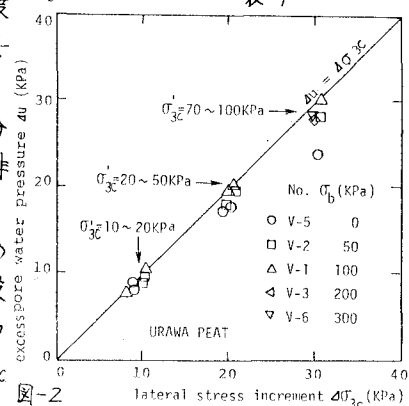


図-2

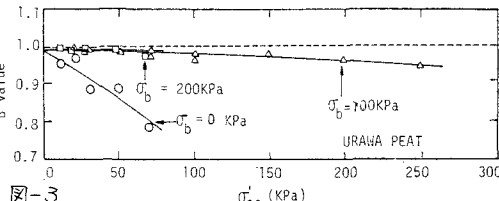


図-3

しかし、 σ_b の低下が生じはじめると σ'_3 値はほぼ200 kPaを $\sigma_b = 0$ の場合よりかなり大きくなる。このことは、図-4に示す泥炭構造のモデル図を用いて説明できる。供試体内部で測定される間隙水圧は、有機物間や土粒子間あるいは有機物と土粒子間に介在する間隙(マクロポア)中の水圧を考えられる。 σ'_3 が増大による圧縮の進行に伴って有機物自身の圧縮が顕著となり、

有機物内の間隙(ミクロポア)に混入したと見られる気体のマクロポアへの移動が間隙水圧低下の主要な原因と考えられる。そこで、300 kPaまでのバックフレッシャー下で計測された各種の圧密圧力下でのB値を図-5に示してある。圧密圧力 $\sigma'_3 = 300$ kPa程度までは100 kPaの

バックフレッシャーの載荷で1に近いB値が得られる。図-2で示した

ように、 $\sigma'_3 < 50$ kPa域でバックフレッシャーを載荷しない

($\sigma_b = 0$)場合でも比較的高いB値が得られたのは、材料の水中保存および水中セットという飽和度の低下に十分留意した結果のためと考えられる。即ち、マクロポア中に混入した気泡がその過程で容易に消失するものと言える。図-6

は、圧密時の過剰間隙水圧(ϵ_3)の消散過程を示したもので、

あまりバックフレッシャーの大きさに左右されないB値

が低い $\sigma_b = 0$ の場合には、経時曲線が多少上方に位置し高い残留間隙水圧を有する傾向にある。しかし、 σ_b の相違がそれほど明瞭に現われるのは言えない。

(ii) 非排水せん断特性に及ぼすバックフレッシャーの影響

B値が低いと当然非排水せん断中の間隙水圧量の低下傾向が見られる。また、あまりバックフレッシャーが嵩すぎると土構造を乱すことが予想され、通常、粘土等の無機質土では、100 kPa程度の大きさのバックフレッシャーが採用されている。このことは、軟弱性の弱い構造を持つ泥炭ではより著しくなることが予想される。図-7～9は各バックフレッシャー下でのせん断特性を示したものである。図-7からもみられるように、 $\sigma_b = 0$ の場合、有効応力経路が原点から直線から傾向にあり、発生間隙水圧量が他のバックフレッシャーを加えたものと比較して少ないことがわかる。この傾向は、図-8より、軸ひずみ $\epsilon_a = 10\%$ 程度まであると言える。なお、間隙水圧量の減少は有効応力の増大と考えられるので、図-9によると、 $\sigma_b = 0$ の場合には、軸差応力 $\sigma_3 - \sigma'_3$ 関係は上方に位置し高いせん断強度を与えることになる。しかし、予想された高いバックフレッシャー下での土構造の乱れというものが、 $\sigma_b = 300$ kPaまでの範囲では、明確に現われないと考えられる。以上の飽和度の状態とせん断強度のバックフレッシャーの効果から判断して、泥炭においても、100 kPa程度のバックフレッシャーで十分信頼できる結果を得ることができるものと確信できる。(測定)本報告は本科柴田、藤井が生の卒論実験結果的一部分をまとめたものである。但し、多くの協力を得た、ここに謝意を表する。

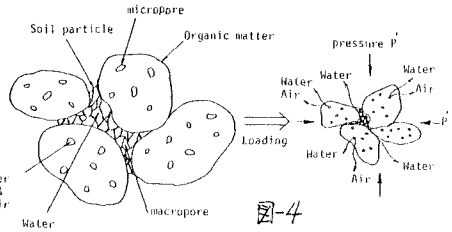


図-4

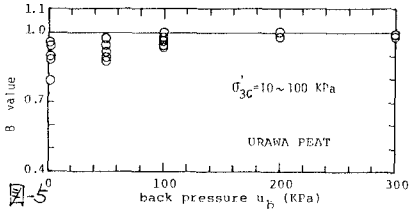


図-5

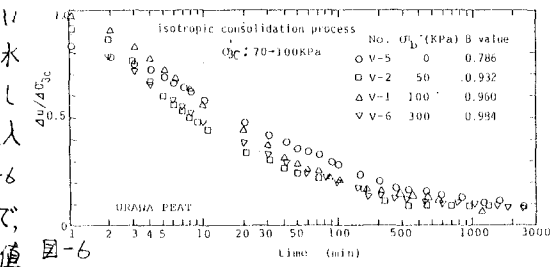


図-6

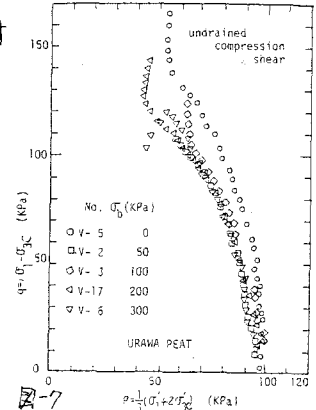


図-7

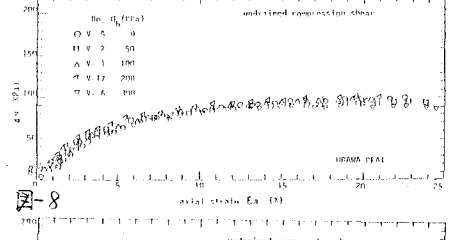


図-8

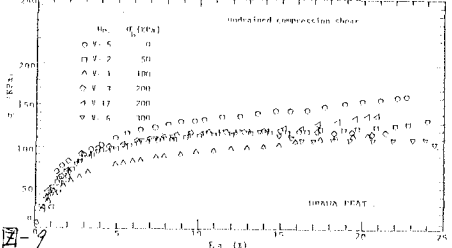


図-9